

1章 p.2 表 1.1 8行目 M.Farady → M. Faraday

3章 p.42 図 3.14  $I_2 = I_1 \rightarrow I_2 = I_1'$

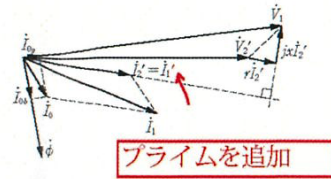
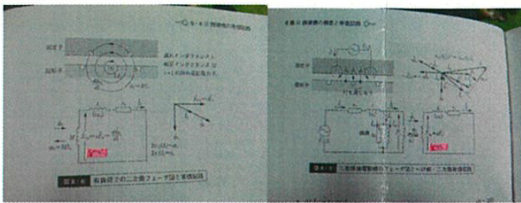


図 3-14 簡易等価回路によるフェーザ図

6章 p.91 式(6・9)の上,  $E_0 \cos(\theta_L + \delta) = E_t \sin \theta_L \rightarrow XI_a \cos \theta_L = E_0 \sin \delta$

6章 p.99 図 6.14 訂正 ドットの削除 18点, 矢印の延長 図参照

8章 p.129,130 図 8・6 と図 8・7 の中  $f_2 = sf_1 \rightarrow f_s = sf_1$



14章 p.225 式(14・6)  $e_q = \omega L_q I_q + \omega \Phi_f \rightarrow e_q = \omega L_d I_d + \omega \Phi_f$

14章 p.227 図 14・6 → 図 14・9

14章 p.232 式(14・15)  $K_a k I_m^2 (1 - \cos 2\omega t) \rightarrow K_a k I_m^2 (1 - \cos 2\omega t)$ , 続きの文中・(平均トルク  $\bar{T}_a = K_a k I_m^2$ )

15章 p.239 図 15・3 磁束密度の矢印を伸ばす 図参照

解答

6章 p.265 問 4 (イ)  $X_s \rightarrow X_{sy}$

9章 p.268 問 5 (オ)  $\dots P_B'' = 3E_C |i_2''| \cos \phi_2'' = 3 \frac{E_C(0.04E_2 - E_C)}{1.04r_2} = 0.00115 \wedge, P_{C2}'' = 3|i_2''|^2 r_2 = 0.00122 \frac{E_2^2}{r_2}$

$\rightarrow \dots P_B'' = 3E_C |i_2''| \cos \phi_2'' = 3 \frac{E_C(0.04E_2 - E_C)}{1.04r_2} = 0.00115 \frac{E_2^2}{r_2}, P_{C2}'' = 3|i_2''|^2 r_2 = 0.00122 \frac{E_2^2}{r_2}$

13章 p.271 問 4 (オ)  $\dots \frac{1}{2}v(t)^2 = \frac{1}{2}83.33^2 = 22.0t + 446.96, t = 137.5 \text{ s}, t_{total} = 179.94 \text{ s}$

$\rightarrow \dots \frac{1}{2}v(t)^2 = \frac{1}{2}83.33^2 = 22.0t + 466.96, t = 137.5 \text{ s}, t_{total} = 179.94 \text{ s}$

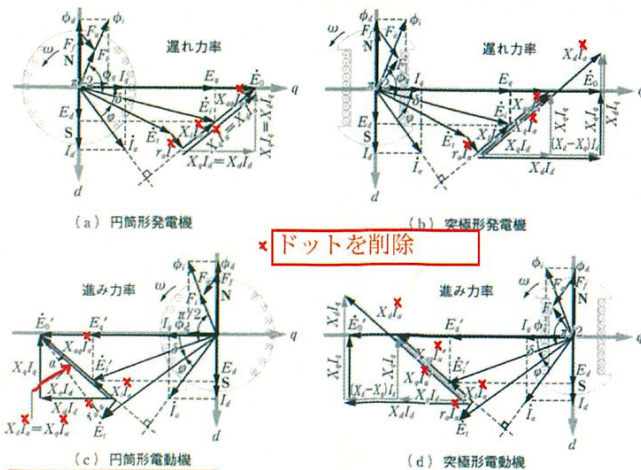


図 6-14 同期機のフェーザ図

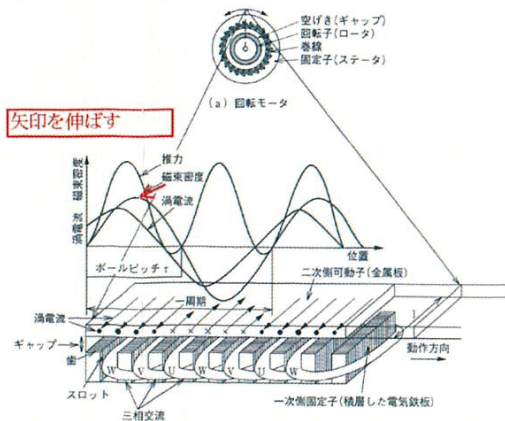


図 15-3 リニア誘導モータの原理図